



Print ISSN: 2251-7480  
Online ISSN: 2251-7400

Journal of  
Water and Soil  
Resources Conservation  
(WSRCJ)

**Web site:**  
<https://wsrcj.srbiau.ac.ir>

**Email:**  
iauwsrjcj@srbiau.ac.ir  
iauwsrjcj@gmail.com

**Vol. 14**  
**No. 1 (53)**

**Received:**  
2023-11-18

**Accepted:**  
2024-04-27

**Pages: 53-65**

# Assessing the Relationship between the Shadgan Wetland Fluctuation levels and Water EC in Time Duration, Using Satellite Images and Geostatistical Methods

Bahman Yargholi<sup>1\*</sup> and Yasaman Samaei

- 1) Assistant Professor, Agricultural Engineering Research Institute, Agricultural Research, Education and Extension Organization, Karaj, Alborz, Iran.
- 2) M.Sc. Graduate, Department of Water Engineering, Imam Khomeini International University, Qazvin, Iran.

\*Corresponding author emails: [yar\\_bahman@yahoo.com](mailto:yar_bahman@yahoo.com)

## Abstract:

**Introduction:** Wetlands are highly beneficial to human societies due to their positive environmental functions, direct and indirect functions, as well as their value as an asset. It has led to an increase in the attention given to their restoration and maintenance in different societies. Shadgan Wetland contains fresh-salty, and brackish water, and approximately 900 million cubic meters of Jarahi water resources enter Shadegan every year. The wetland is at risk of serious harm as a result of the developmental activities occurring around it, which are causing pollutants to enter the wetland and reducing the quantity of fresh water coming in. A number of factors contribute to the destruction of this wetland, including over-exploitation from its water resources, the discharge of urban waste within its limits, the fragmentation of the wetland as a result of road construction, the construction of stations to increase the pressure on electricity, gas and oil pipelines, as well as effluents from industries such as bread making, alcohol production, sugarcane cultivation and industry. The economic value of wetlands and climate regulation, flood prevention, protection of plant and animal diversity, beauty and inherent visual attractions of wetlands, tourist attractions, as well as creating an opportunity for migratory birds to nest and a place for scientific research are among the most important considerations in the design of a wetlands. The development of water resources schemes and the regulation of river flows are often recognized as the most serious threats to the ecological sustainability of rivers and wetlands.

**Method:** This study attempts to determine the change in water salinity of Shadegan wetland in the last five decades using the electrical conductivity index due to the importance of Shadegan wetland in various ways. Finally, a relationship has been established between the area and the salinity of this significant wetland. Also, by using electrical conductivity data from 23 stations in the lagoon and with the help of satellite images and remote sensing techniques and interpolation methods (IDW), the changes of this index in the mentioned period were investigated, leading to a mathematical relationship.

**Results and Discussion:** According to the research results, upstream human activities, especially dam constructions and agricultural development projects, have had a great impact on the quantity and quality of the wetland. With climate change and drought, these effects have intensified, resulting in a reduction of the wetland level as well as an increase in the salinity of the wetland water. These changes can be observed both in terms of their temporal and spatial dimensions. Consequently, the results show the trend of increasing salinity from the southern parts to the north and also the greater manifestation of the increase in salinity in the southern parts due to the decrease in the incoming fresh water flow (more than twice). According to the results, there are three salinity levels in the wetland: saline, brackish water, and super salinity, and a salinity increase is observed in all three zones. The present results and equations are used as an achievement by water and environment managers and they can estimate the EC of water in key and indicator stations and finally at the level of the wetland by measuring the size of the wetland using different technologies. So over time, the levels and zones of saline and super salinity have expanded, and the levels of brackish water have decreased. It is expected that this process will continue over time, resulting in the sea salt water advancing towards the wetland and increasing the amount of salinity within it.

**Conclusions:** According to this study, based on the relationship between salinity and the level of the wetland, as well as the water area of the wetland, it is possible to estimate its salinity in three zones. By measuring the salinity of water at several key stations within each of the three zones, the wetland's water level can be estimated. In monitoring, managing, and qualitatively protecting the wetland and consequently its species, this equation and its relationships can play an important role.

**Keywords:** geostatistical methods, Satellite Images, Shadeghan wetland, water salinity, water area

# بررسی رابطه تغییرات سطح تالاب شادگان و EC آب تالاب در طی زمان با استفاده از تصاویر ماهواره‌ای و روش‌های زمین‌آماری

بهمن بارقلی<sup>۱\*</sup> و یاسمین سمائی<sup>۲</sup>

(۱) استادیار، مؤسسه تحقیقات فنی و مهندسی کشاورزی، سازمان تحقیقات آموزش و ترویج کشاورزی، کرج، البرز، ایران.

(۲) فارغ التحصیل ارشد، گروه علوم و مهندسی آب، دانشگاه بین‌المللی امام خمینی (ره)، قزوین، ایران.

\* ایمیل نویسنده مسئول: [yar\\_bahman@yahoo.com](mailto:yar_bahman@yahoo.com)



شایا چاپی: ۲۲۵۱-۷۴۸۰  
شایا الکترونیکی: ۲۲۵۰-۷۴۰۰

## چکیده:

**مقدمه و هدف پژوهش:** تالاب‌ها به‌واسطه‌ی برخورداری از کارکردهای مثبت محیط‌زیستی و ارائه خدمات مستقیم و غیرمستقیم به جوامع بشري و نيز به عنوان يك دارايي، بسيار حائز اهميت هستند. اين امر باعث شده در جوامع مختلف توجه فرايندهای برای احیا و نگهداری آنها صورت گيرد. تالاب شادگان تالايی است با آب شيرين شور و لبشور و سالانه حدود ۹۰۰ ميليون متراً مکعب از منابع آبي جراحی وارد شادگان می‌شود. متأسفانه اين تالاب به‌واسطه‌ی فعالیت‌های توسعه‌ای پيرامون آن، افزایش رود آيندها و کاهش جريان‌های شيرين و رودهای، با تهدید جدی روبرو است. برداشت‌های بی‌رویه از منابع آب تالاب و تخلیه زباله‌های شهری درون محدوده‌ی آن در کنار تکه‌تکه کردن تالاب به‌واسطه احداث جاده‌ها، ايجاد ايستگاه‌های تقویت فشار برق، گاز و لوله‌گذاری نفت و نيز ايجاد صناعي چون نوپاياناري، الكل سازي و كشت و صنعت نيشکر كه پساب خود را درون تالاب تخلیه می‌کند، همه و همه در نابودی اين تالاب نقش داشته و دارند. ارزش اقتصادي تالاب‌ها از يكسو و تنظيم آب و هوا، جلوگيري از سيل، حفاظت از تنوع گيهائي و جانوري، زيبابي و جاذبه‌های بصري ذاتي تالاب، جاذبه‌های توربيستي و ايجاد فضائي برای زندگی پرندگان مهاجر و مکاني غني برای بروسي های تحقيقاتي و علمي از سوي ديگر از مهم‌ترین موضوعات موردنوجه در يك تالاب است. توسيه طرح‌های منابع آب و تنظيم جريان رودخانه‌ها اغلب به عنوان جدي ترين تهديد برای پايداري اکولوژيکي رودخانه و تالاب‌ها شناخته شده است.

**مواد و روش‌ها:** با توجه به اهميت تالاب شادگان از جهات مختلف، در اين پژوهش با استفاده از شاخص هدایت الکتریکی، روند تغییرات شوري آب در سطح اين تالاب را در پنج دهه اخیر پنهان‌بندی و تحلیل شد و در نهايیت رابطه ميان مساحت و شوري آب در سطح اين تالاب مهم به دست آمد. همچنین با استفاده از داده‌های هدایت الکتریکی <sup>۳</sup> ايستگاه موجود در سطح تالاب و با کمک تصاویر ماهواره‌ای و تکنيک‌های سنجش از دور و روش درون‌يابي IDW به بررسی تغییرات اين شاخص در مدت ذکر شده پرداخته شد که منجر به يك رابطه رياضي شد.

**نتایج و بحث:** بر اساس نتایج تحقیق، فعالیت‌های انسانی بالادست، بهویژه سدسازی و طرح‌های توسعه کشاورزی، تأثیر زیادی بر کمیت و کیفیت تالاب داشته است. با تغییرات اقلیمي و خشکسالی، اين اثرات تشديد شده و منجر به کاهش سطح تالاب و همچنین افزایش شوري آب تالاب شده است. اين تغییرات را می‌توان هم از نظر ابعاد زمانی و هم از نظر مکانی مشاهده کرد. متعاقباً، نتایج بيانگر روند افزایش شوري از بخش‌های جنوبی به سمت شمال و همچنین نمود بيشتر افزایش شوري در قسمت‌های جنوبی در اثر کاهش جريان آب شيرين و روده (تابیش از دو برابر) نيز می‌باشد. بر اساس نتایج، سه سطح شوري در تالاب وجود دارد: شور، لبشور و فوق شوري و افزایش شوري در هر سه پهنه مشاهده می‌شود. نتایج و معادلات حاضر به عنوان يك دستاورده مورد استفاده مدیران آب و محیط زیست بوده و آنها می‌توانند با اندازه‌گيری و سعی تالاب با استفاده از فناوري های مختلف، EC آب در ايستگاه‌های کليدي و شاخص در نهايیت در سطح تالاب را تخمين بزنند. و يا برعكس با مشخص بودن EC، وسعت تالاب را برآورد کنند. بنابراین با گذشت زمان، سطوح و مناطق شور و فوق شوري گسترش يافته و سطح آب شور کاهش يافته است. انتظار می‌رود که اين روند در طول زمان ادامه يابد و در نتيجه آب نمک دريا به سمت تالاب پيش برود و ميزان شوري در آن افزایش يابد.

**نتیجه‌گیری:** بر اساس اين مطالعه، با توجه به رابطه بين شوري و سطح تالاب و همچنین مساحت آبي تالاب، می‌توان شوري آن را در سه پهنه تخمين زد. با اندازه‌گيری شوري آب در چندين ايستگاه کليدي در هر يك از سه منطقه، می‌توان سطح آب تالاب را تخمين زد. در پايش، مدیریت و حفاظت کيفي تالاب و در نتيجه گونه های آن، اين معادله و روابط آن می‌توانند نقش مهمی ايفا کند.

**واژه‌های کلیدی:** تصاویر ماهواره‌ای، تالاب شادگان، شوري، وسعت آب، روش‌های زمین‌آماری

## نشریه حفاظت منابع آب و ایک

### آدرس تارنما:

<https://wsrjc.srbiau.ac.ir>

### پست الکترونیک:

[iauwsrjc@srbiau.ac.ir](mailto:iauwsrjc@srbiau.ac.ir)

[iauwsrjc@gmail.com](mailto:iauwsrjc@gmail.com)

### سال چهاردهم

شماره ۱ (۵۳)

### تاریخ دریافت:

۱۴۰۲/۰۸/۲۷

### تاریخ پذیرش:

۱۴۰۳/۰۲/۰۸

صفحات: ۵۳-۶۵

## مقدمه

چرخه کربن و چرخه مواد مغذی به طور زیان‌باری تعییر خواهد کرد، با این حال سیاست و تصمیم‌گیری‌ها، این تعاملات و وابستگی‌ها به تالاب‌ها را به اندازه کافی در نظر نمی‌گیرند. تالاب بین‌المللی شادگان یکی از تالاب‌های بزرگ ایران است که در مرداد ۱۳۵۴ در فهرست تالاب‌های بین‌المللی کنوانسیون رامسر قرار گرفت. این تالاب با تنوع زیستی بسیار زیاد و کارکردهای متنوع مانند مهار سیلان‌های بالادست و کاهش اثرات تخریبی آن، تعدیل هوا (کنترل رسوبات و ذرات معلق)، کنترل فرسایش خاک و کاربردهای معیشتی از اهمیت زیادی برخوردار است و از جنبه‌های گوناگون مورد توجه پژوهشگران بوده است (Dargahian et al., 2020). تاکنون پژوهش‌های زیادی از جنبه اکولوژی و زیستی تالاب انجام شده است. خلفه نیل ساز (Khalifa Nil Saz 2016) تالاب شادگان را در طی دوره‌ای یک‌ساله با هدف بررسی تغییرات اکولوژیکی و مقایسه وضعیت آن با گذشته مورد پایش اکولوژی قرارداد و نتایج حاصل از این تحقیق نشان داد که تالاب شادگان جزء آبهای لب‌شور تا شور و شامل آبهای سخت طبقه‌بندی گردید. علاوه بر آن شوری، هدایت الکتریکی، سختی کل، جامدات محلول معلق و نیترات (Mohammadi et al., 2013) را با هدف بررسی قرار دادند. نتایج حاصل از این هیلسنهوف موردنیازی قرار دادند. نتایج حاصل از این بررسی نقش ورود فاضلاب‌ها را در افزایش بار آلودگی‌های آلی به تالاب و افزایش روند آلودگی تالاب را نشان می‌دهد که لزوم در نظر گرفتن ملاحظات زیست‌محیطی و مدیریت هماهنگ در کاهش آلودگی‌های آلی را طلب می‌کند (Baluchi and Malekmohammadi, 2012).

مهم‌ترین عوامل تنش‌زای تهدیدکننده تالاب شادگان برای ارائه راهکارهای کنترل و کاهش آن‌ها انجام شده است. بر طبق نتایج حاصل از این تحقیق، تغییرات فیزیکی مانند تغییر کاربری زیستگاه‌های طبیعی، تغییر در رژیم آب تأمین‌کننده تالاب مانند سدسازی، آلودگی آب ناشی از تخلیه انواع فاضلاب‌ها به درون تالاب و بهره‌برداری بی‌رویه از تولیدات بیولوژیکی تالاب و همچنین وقوع پدیده خشک‌سالی مهم‌ترین ریسک‌های تهدیدکننده تالاب شادگان به ترتیب اولویت هستند. با توجه به پیشرفت‌های موجود در زمینه سنجش از دور و استفاده از تصاویر ماهواره‌ای می‌توان با اضافه کردن روش‌های جدید در کنار روش‌های سنتی از مصائبی چون هزینه بالا و سختی‌ها نمونه‌برداری به دلیل وسعت تالاب و مشکلات بازدهی‌های زمینی و اتلاف وقت پیشگیری کرد و تالاب را از نظر کمی و کیفی با استفاده از سری زمانی طولانی تصاویر پایش نمود. از جمله

تالاب‌ها به‌واسطه‌ی برخورداری از کارکردهای مثبت محیط‌زیستی و ارائه خدمات مستقیم و غیرمستقیم به جوامع بشری و نیز به‌عنوان یک دارایی، بسیار حائز اهمیت هستند. این امر باعث شده در جوامع مختلف توجه فزاینده‌ای برای احیا و نگهداری آن‌ها صورت گیرد. تعیین ارزش منابع و عناصر محیط‌زیستی به‌عنوان یک ابزار کلیدی این امکان را به برنامه ریزان می‌دهد تا کاربری‌های این منابع را با توجه به درجه اهمیت آن‌ها انتخاب نمایند. علاوه بر این، باید توجه داشت که پایه و اساس حسابداری محیط‌زیستی مبتنی بر داشتن ارزش عناصر محیط‌زیستی و اکولوژیکی است. بدین مفهوم که با داشتن ارزش منابع می‌توان هزینه‌ی آلودگی‌های محیط‌زیستی و تغییر کاربری آن را به‌صورت کمی محاسبه و آن‌ها را در کل بودجه موردنیاز جهت ایجاد کاربری جدید یا اجرای پروژه‌های توسعه‌ای لحاظ نمود. تالاب شادگان نیز یکی از تالاب‌های ثبت‌شده در کنوانسیون رامسر است. متأسفانه این تالاب به‌واسطه فعالیت‌های توسعه‌ای پیرامون آن، افزایش ورود آلاینده‌ها و کاهش جریان‌های شیرین و روودی، با تهدید جدی روبرو است. برداشت‌های بی‌رویه از منابع آب تالاب و تخلیه زباله‌های شهری درون محدوده‌ی آن در کنار تکه‌تکه کردن تالاب به‌واسطه احداث جاده‌ها، ایجاد ایستگاه‌ها تقویت فشار برق، گاز و لوله‌گذاری نفت و نیز ایجاد صنایعی چون نوپانسازی، الكل سازی و کشت و صنعت نیشکر که پس از خود را درون تالاب تخلیه می‌کنند، همه و همه در نابودی این تالاب نقوش داشته و دارند (Tavakoli et al., 2020). ارزش اقتصادی تالاب‌ها از یکسو و تنظیم آب و هوا، جلوگیری از سیل، حفاظت از تنوع گیاهی و جانوری، زیبایی و جاذبه‌های بصری ذاتی تالاب، جاذبه‌های توریستی و ایجاد فضایی برای زندگی پرندگان مهاجر و مکانی غنی برای بررسی‌های تحقیقاتی و علمی از سوی دیگر از مهم‌ترین موضوعات موردنیاز در یک تالاب است. توسعه طرح‌های منابع آب و تنظیم جریان اکولوژیکی رودخانه و تالاب‌ها شناخته‌شده است. توسعه جوامع بشری همواره تهدیدی برای کیفیت منابع آب به شمار می‌رود (Shang et al., 2015). با افزایش جمعیت شهرها و نیاز روزافزون به محصولات کشاورزی و افزایش فعالیت‌های صنعتی حجم بالایی از آلاینده‌ها را به داخل رودخانه‌ها و درنهایت به دریاچه‌ها و تالاب‌ها وارد می‌کند که منجر به آلوده شدن این منابع می‌گردد. در مناطق خشک و نیمه‌خشک مانند ایران، آب تالاب‌ها می‌توان از اهمیت دوچندانی نسبت به دیگر مناطق بهره‌مند باشد (Tavakoli et al., 2020). چرخه آب محلی و جهانی به شدت به تالاب‌ها وابسته‌اند، بدون تالاب‌ها، چرخه آب،

تالاب شادگان به عنوان یک اکوسیستم زنده نقش مهمی داشته است. (پور خباز و همکاران، ۱۳۹۴) در پژوهشی با هدف بررسی و مقایسه تغییرات تالاب بین المللی شادگان و پدیده های مختلف مرتبط با آن طی دو دهه گذشته با استفاده تصاویر ماهواره لندست در ENVI به کمک روش طبقه بندی نظریت شده و الگوریتم شباهت، طی یک دوره ۲۴ ساله (۱۹۹۰-۲۰۱۳) بررسی بررسی کردند. نتایج این پژوهش نشان داد که مساحت تالاب طی سال های ۱۹۹۰ تا ۲۰۰۳ به دلیل پدیده خشکسالی و افزایش فعالیت های انسانی به میزان ۵,۸درصد کاهش یافته و از سال ۲۰۰۳ تا ۲۰۱۳ به دلیل ورود بار آلوگی ناشی از زهاب های کشاورزی و واحد های صنعتی و بروز پدیده تعذیه گرایی، افزایش ۶,۵ درصدی در مساحت پوشش گیاهی بخش آبدار تالاب رخ داده است (پور خباز و همکاران، ۱۳۹۴). در پژوهشی که توسط (طالبی و همکاران، ۱۳۹۸) انجام شد به بررسی تاثیرات احتمالی کاربری اراضی بر کیفیت آب شادگان با استفاده از تصاویر ماهواره ای لندست و در سال های ۲۰۰۰ تا ۲۰۱۵ انجام شده است. پوشش گیاهی در تالاب به سرعت رو به افزایش بوده که نشان از آلوگی آب، افزایش پدیده تعذیه گرایی و از بین رفتن زود هنگام این تالاب بین المللی دارد. توسعه زمین های کشاورزی در اطراف تالاب شادگان از سال ۲۰۰۰ تا ۲۰۱۵، باعث افزایش روزافرون آلوگی در منطقه شده است. وسعت زمین های کشاورزی باعث افزایش پدیده یوتیوفیکاسیون در تالاب و در نهایت باعث افت کیفیت شاخص های آب می شود. در گاهیان و همکاران در سال ۱۳۹۹ با استفاده از داده های ماهواره ای لندست به بررسی روند تغییرات مساحت آب تالاب شادگان و ارتباط آن با خشکسالی هیدرولوژی و زه آب کشت و صنعت نیشکر خوزستان پرداخته اند. و اثر خشکسالی های متنابوب را موثر در کاهش سطح تالاب و اثر ر.د. زهاب های کشاورزی را علی رغم اثرات سوء زیست محیطی در جهت افزایش سطح آبی آن دانسته اند.

رافی و همکاران در سال ۱۴۰۱ ابا استفاده از روش های یکپارچه سنجش از دور و GIS اقدام به بررسی تغییرات کاربری / پوشش اراضی تالاب بین المللی شادگان در دوهه اخیر پرداخته اند. براساس نتایج این تحقیق سطح تالاب و به تبع آن پوشش گیاهی تالاب در طول زمان کاهش یافته و این روند کاهشی با کاهش منابع آب شیرین ورودی به تالاب افطاپیش یافته است. نکته کلیدی این تحقیق نسبت کاهش بیشتر سطح گیاهی تالاب در مقایسه با کاهش سطح آبی آن می باشد. مبینی و همکاران در سال ۱۳۹۴ اقدام به ارزیابی و پیش تغییرات تالاب شادگان با استفاده از تصاویر ماهواره ای لندست نموده اند که نتیجه این مطالعه نشان می دهد که بطور کلی سطح تالاب از سال ۱۹۷۳ میلادی روندی کاهش دارد و اراضی نمکی منطقه نیز نسبت به سال ۱۹۷۳ افزایش یافته که عمدتاً

مواردی که از سنجش از دور در ایران در طرح های پایشی استفاده شده است می توان به موارد زیر اشاره کرد: بررسی تغییرات فصلی و ماهانه تالاب جازموریان با استفاده از تصاویر لندست برای دوره زمانی ۱۹۷۶ تا ۲۰۱۲ نشان داد که اغلب دوره های آب پرآبی جازموریان ماه های فوریه تا می و دوره های خشک در ماه آگوست و سپتامبر دیده می شود و در یک دوره چهل ساله سال ۱۹۷۶ پرآب ترین سال بوده که حتی در ماه های گرم و خشک جازموریان آبدار بوده است. بررسی تغییرات مساحت تالاب شادگان طی تحقیقات ۱۹۹۰ تا ۲۰۱۳ نشان داد که به علت خشکسالی مساحت پوشش گیاهی آن کم شده است اما در سال ۲۰۱۳ به دلیل ورود زهاب کشاورزی و صنعتی پوشش گیاهی آن افزایش یافته است، (PoorKhabaz et al., 2015) با استفاده از داده های ماهواره MODIS مربوط به سال های ۲۰۰۰ تا ۲۰۱۱ شاخص NDWI مساحت پهنه مرتبط و غیر مرتبط تالاب شادگان مورد مطالعه قرار گرفت و نتایج نشان داد که در سال ۲۰۰۵ و ۲۰۰۴ کمترین مساحت و ۲۰۰۷ و ۲۰۰۲ بیشترین مساحت مرتبط را داشته است (Bayat et al., 2016) در تحقیق دیگری نشان داده شد که تغییرات ۲۵ و ۱۰ درصدی آب و پوشش گیاهی تالاب پریشان در سال ۲۰۰۰ نسبت به سال ۱۹۹۰ به دلیل ریزش های جوی مناسب بوده است (چوک و محسنی، ۱۳۹۵). بررسی تغییرات تالاب بزرگ هویزه در بازه زمانی ۱۹۹۱، ۲۰۱۳، ۲۰۱۴، ۲۰۱۶ نشان داد که در سال ۲۰۱۶ پوشش گیاهی و آب تالاب نسبت به سال ۲۰۱۳ افزایش داشته است (Karami and Mirsanjari, 2018) ارزیابی روند تغییرات تالاب ساحلی میانکاله با رویکرد آمایش سرزمین با استفاده از تصاویر ماهواره ای لندست در بازه زمانی ۱۳۸۰ تا ۱۳۹۵ کاهش شدید پهنه آبی را نشان داده است (Dashti et al., 2018) (در گاهیان و همکاران، ۱۳۹۹)، از داده های سال های ۱۹۹۸ تا ۲۰۱۷ خردامه سنجنده های OLI+ETM+TM ماهواره لندست برای پایش سطح آب تالاب شادگان استفاده کردند. آنان با استفاده از طبقه بندی نظارت شده با روش ماشین بردار پشتیبان تصاویر در سه طبقه آب، پوشش گیاهی و بدون پوشش یا خاک طبقه بندی کردند. در این پژوهش تغییرات دی ایستگاه هیدرومتری شادگان به عنوان آخرین ایستگاه ورودی رودخانه و جراحی به تالاب و سایر منابع آب ورودی به تالاب که دی آن قابل اندازه گیری و اطلاعات آن موجود بود محاسبه و مقادیر آنها با تغییرات مساحت آب تالاب مقایسه شد. نتیجه حاصل نشان داد که مساحت آب تالاب در دهه گذشته با دی خروجی از آخرین ایستگاه هیدرومتری شادگان همخوانی نداشت اما با آب ورودی از زهاب نیشکر و دی شادگان مرتبط بود. بنابراین، زهاب نیشکر صرف نظر از کیفیت آن با توجه به شدت و تداوم و بزرگی خشکسالی در دهه گذشته در احیاء

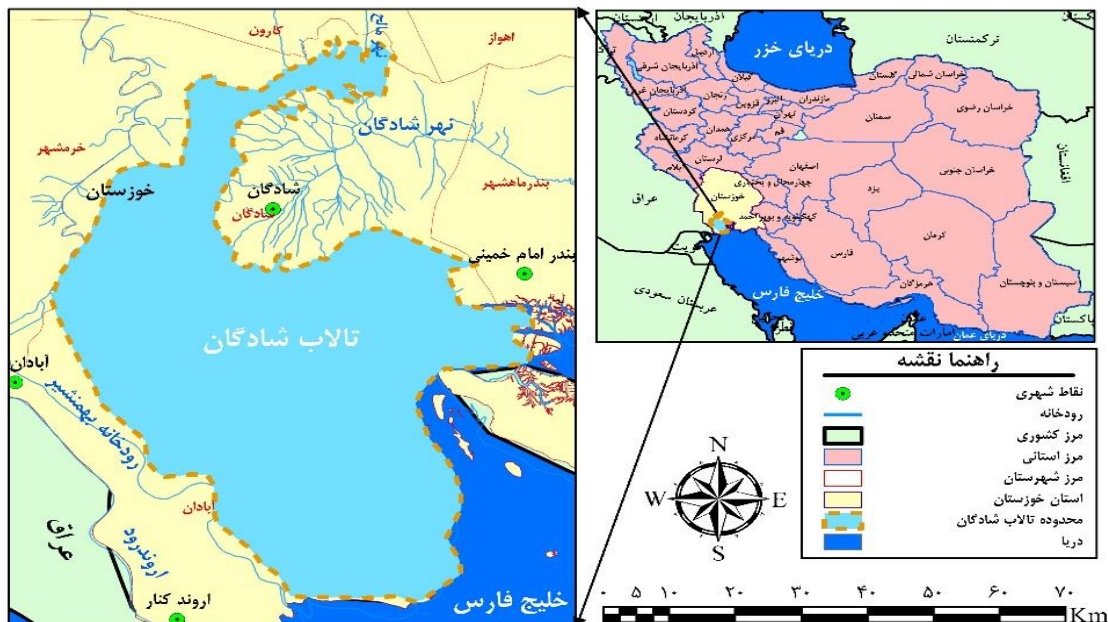
منابع آب باشد. لازم به ذکر است که در پژوهش‌های پیشین اشاره ایی به افزایش هدایت الکتریکی آب تالاب و پیشروی آب شور در این زیستگاه حیاتی نشده است. با توجه به این مسئله در این پژوهش با استفاده از تصاویر ماهواره‌ای و تکنیک‌های سنجش از دور و روش درون‌یابی IDW سعی در به دست آوردن تغییرات تالاب در ۵ دهه اخیر شده است و با استفاده از داده‌های میدانی شوری رابطه‌ای بین شوری و تغییرات مساحت به دست آمده است؛ که با استفاده از این رابطه می‌توان با در دست داشتن میزان مساحت تالاب کمترین، بیشترین و میانگین شوری تالاب را تخمین زد.

### مواد و روش‌ها محدوده مورد مطالعه

تالاب شادگان، واقع در استان خوزستان در جنوب غربی ایران و پایاپ رودخانه جراحی و جنوب جلگه خوزستان در محدوده ۴۸ درجه و ۱۷ دقیقه تا ۴۸ درجه و ۵۰ دقیقه و ۳۰ درجه و ۱۷ دقیقه تا ۳۰ درجه و ۵۸ دقیقه قرار دارد (شکل ۱). رودخانه جراحی منبع اصلی تأمین‌کننده آب تالاب شادگان است. این تالاب از شمال به اهواز، از غرب به جاده آبادان - اهواز، از جنوب به رودخانه فارس و از شرق به خورموسی و خورغازلان متنه می‌شود. از رودخانه‌های جراحی، مسیل مالح، نهر بحره، بارندگی‌های زمستانه و مقدار آبی از طریق جزر و مد خلیج فارس وارد این تالاب می‌شود.

مریبوط به پسروی آب تالاب می‌باشد. نتایج تحقیقات فوق متمرکز بر تغییرات سطح تالاب و همپنین پوشش گیاهی ان بوده و نتایج مربوطه از منظر تغییرات سطح تالاب با نتایج تحقیق حاضر مطابقت دارد. در این تحقیقات اشاره ای به تغییرات شوری آب و همچنین رابطه این دو شاخص نشده است. درصورتیکه در مقاله ارائه شده روند تغییرات شوری و رابطه آن با سطح پهنه آبی تالاب مد نظر می‌باشد. و در هیچ یک از پژوهش‌های مذکور اشاره ایی به طبقه بندي و پهنه بندي آب تالاب از نظر شوری نشده است.

تالاب شادگان تالابی است با آب شیرین -شور و لب‌شور و سالانه حدود ۹۰۰ میلیون مترمکعب از منابع آبی جراحی وارد شادگان می‌شود. آب تالاب از طریق رودخانه کارون، جزر و مد دریا و از طریق خورهای ساحلی همچون خور دورق، خور قنافه، خور ملح، خور کویرین، خور قویان و خور سلخ تأمین می‌شود. همان طور که در پژوهش‌های مذکور مشخص شد، با تغییرات کاربری اراضی و افزایش وسعت زمین‌های کشاورزی، بافزایش مصرف کودهای شیمیایی را به همراه داشته است که در نتیجه آن، پساب‌های کشاورزی همراه با مقادیر زیادی شوری وارد طبیعت می‌شوند. هدایت الکتریکی بیانگر میزان شوری آب است که بر رشد گیاهان و زندگی آبزیان و اکوسیستم دریاچه‌ها و تالاب‌ها اثر می‌گذارد. علاوه بر موارد ذکر شده، بررسی شوری آب تالاب شادگان نیز از دیگر مواردی است که برای ادامه حیات موجودات زنده تالاب ضروری است. تهیه نقشه‌ها به هنگام بررسی خصوصیات کیفی می‌تواند گامی مهم در بهره‌برداری از



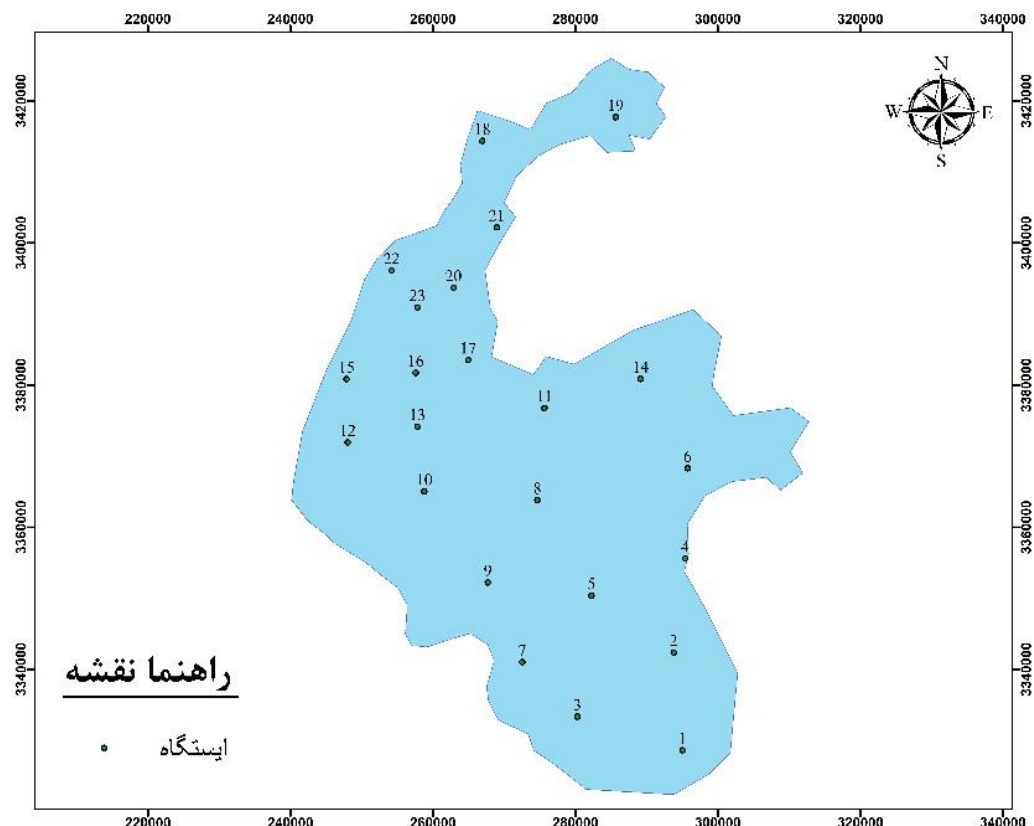
شکل ۱. نقشه محدوده مورد مطالعه

EC با دستگاه پرتابل مارک WTW در محل ایستگاهها در سطح تالاب صورت گرفته است.

با توجه به تفاوت موقعیت ایستگاههای موردمطالعه در سوابق موردنظری، تعداد ۲۳ ایستگاه مشترک به شرح شکل ۲ و جدول ۱ از بین منابع مختلف انتخاب و نتایج آن‌ها برای تحلیل‌های موردنظر استفاده شده است. در انتخاب ایستگاهها، علاوه بر وجود داده مستند، پراکنش مناسب آن‌ها در سطح تالاب نیز ملاک عمل بوده است.

#### فاکتور کیفی مورد بررسی

فاکتور کیفی مورد ارزیابی EC آب تالاب می‌باشد که داده‌های مربوطه از منابع مختلف از جمله گزارشات مهندسین مشاور، سازمان سهامی آب و برق خوزستان، دانشگاه‌ها و مراکز آموزشی و تحقیقاتی، سازمان حفاظت محیط‌زیست و مقالات و گزارشات مستند طی بازه زمانی ۱۳۶۰ تاکنون جمع‌آوری و بعد از صحبت سنجدی و کلاسه‌بندی در بازه‌های زمانی ۵ ساله، به همراه یک نوبت نمونه‌برداری از ایستگاه‌های منتخب توسط محقق در سال ۱۴۰۰ مورداستفاده قرار گرفته است. اندازه‌گیری



شکل ۱. موقعیت ایستگاه‌های موردمطالعه

جدول ۱. مختصات ایستگاه‌های موردمطالعه

ایستگاه	UTM X	UTM Y	ایستگاه	UTM X	UTM Y	ایستگاه	UTM X	UTM Y	ایستگاه
۱	۲۹۵۰۳۱/۴۹۲۶	۳۳۲۸۵۸۵/۸۵۷	۹	۲۶۷۷۱۵/۸۵۴۷	۳۳۵۲۱۹۹/۹۶۷	۱۷	۲۶۴۹۵۹/۵۵۲۳	۳۳۸۳۴۹۶/۰۷۹	۱
۲	۲۹۳۸۱۰/۴۳۸۱	۳۳۴۲۲۳۴/۲۱۸	۱۰	۲۵۸۸۰۲/۶۸۵۸	۳۲۸۵۰۰/۷۴۷۹	۱۸	۲۸۵۶۶۳/۲۳۹۵	۳۴۱۷۶۹۳/۵۴۳	۲
۳	۲۸۰۲۸۳/۵۸۸۱	۳۳۳۲۳۳۱۵/۲۹۴	۱۱	۲۷۵۶۶۹/۹۰۷	۳۲۷۶۷۴۸/۳۸۸	۱۹	۲۶۲۹۰۹/۰۲۷۳	۳۳۹۲۶۸۲/۵۵۷	۳
۴	۲۹۵۰۳۱/۰۱۴۳	۳۳۵۵۵۷۲/۴۱۱	۱۲	۲۴۸۵۳/۹۶۶۴	۳۲۷۱۹۱۹/۷۷۳	۲۰	۲۶۲۹۰۹/۰۲۷۳	۳۳۹۲۶۸۲/۵۵۷	۴
۵	۲۸۲۲۶۷/۹۶۷۱	۳۳۵۰۳۴۷/۸۸	۱۳	۲۵۷۸۴۲/۵۶۹۳	۳۲۷۴۱۳۵/۶۲۳	۲۱	۲۶۸۹۹۴/۴۵۶۲	۳۴۰۲۱۸۲/۳۱۴	۵
۶	۲۹۵۷۶۱/۷۴۴۱	۳۲۶۸۲۷۲/۴۳۶	۱۴	۲۸۹۱۶۳/۶۸۴	۳۲۸۰۸۴۹/۴۳۸	۲۲	۲۵۴۲۱۰/۸۳۲۹	۳۳۹۶۰۹۶/۸۸۵	۶
۷	۲۷۲۵۴۴/۵۱۰۲	۳۲۴۰۹۸۸/۲۲۶	۱۵	۲۴۷۸۹۳/۸۹۳۱	۳۲۸۰۸۱۷/۱۶۷	۲۲	۲۵۷۸۴۸/۸۶۱	۳۳۹۰۹۰۴/۴۲۷	۷
۸	۲۷۴۶۶۱/۱۸۱۱	۳۲۶۳۷۷۵/۵۱۱	۱۶	۲۵۷۵۸۴/۲۷۷۱	۳۲۸۱۷۱/۱۳۸				۸

**درون‌یابی**  
تاکنون در پهنه‌بندی مؤلفه‌های کیفی آب از روش‌های مختلف درون‌یابی استفاده شده است. به نظر می‌رسد روش مناسب درون‌یابی مؤلفه‌های کیفی آب وابسته به مکان باشد. تفاوت عمدی این روش‌ها مربوط به نحوه محاسبه وزنی است که به نقاط مشاهده شده اطراف نقطه مجھول داده می‌شود.

### درون‌یابی به روش IDW

روش‌های مختلفی برای درون‌یابی معرفی شده‌اند که از جمله معروف‌ترین آن‌ها می‌توان به روش وزن دهی معکوس فاصله (IDW) اشاره کرد. در این روش نیازی به تعیین الگوی تغییرات مکانی یعنی تغییر نما نیست. معکوس فاصله یک روش وزن دهی متوسط است که در آن داده‌ها از طریق رابطه انحراف معیار یک نقطه از سایر نقاط با استفاده از گره‌های شبکه‌بندی شده، وزن دهی می‌شوند. در این روش وزن‌ها تنها با توجه به فاصله هر نقطه معلوم نسبت به نقطه مجھول و بدون توجه به نحوه پراکندگی نقاط حول نقطه مورد تخمین، تعیین می‌شوند. به نقاط نزدیکتر وزن بیشتر و به نقاط دورتر وزن کمتری داده می‌شود. این روش به صورت رابطه ۱ محاسبه می‌شود:

$$\gamma_i = \frac{D^{-\pi}}{\sum_{l=1}^n D_l^{-\pi}} \quad (1)$$

که در این رابطه  $D_i$  فاصله ای این نقطه مشاهده شده تا نقطه مورد تخمین؛  $\pi$  توان وزن دهی فاصله و  $n$  تعداد نقاط مجاور است. در این پژوهش با استفاده از روش درون‌یابی IDW به بررسی شوری تالاب پرداخته شده است و سپس با استفاده از تصاویر ماهواره‌ای به بررسی تغییرات مساحت تالاب پرداخته شد و در ادامه با استفاده از داده‌های شوری به مقایسه رابطه بین پارامتر مساحت آبدار و اندازه‌گیری‌های شوری پرداخته شد. پس از بررسی تصاویر ماهواره‌ای برای به دست آوردن مساحت سطوح آبدار تالاب طی سال‌های ۱۳۶۰ تا ۱۴۰۰ به بررسی رابطه بین شوری میان نقاط مختلف تالاب پرداخته شد. برای این کار ابتدا با توجه به نتایج شوری در سطح تالاب، ایستگاه‌ها مطابق جدول ۳ به سه گروه ابر شور، شور و لب‌شور تقسیم‌بندی گردیدند.

### نتایج و بحث

نتایج حاصل از بررسی مساحت‌های سطوح خیس شده و نقشه پهنه‌بندی شوری آب تالاب در طی سال‌های ۱۳۶۰ تا ۱۴۰۰ در جدول (۲) و شکل (۳) و (۴) ارائه شده است.

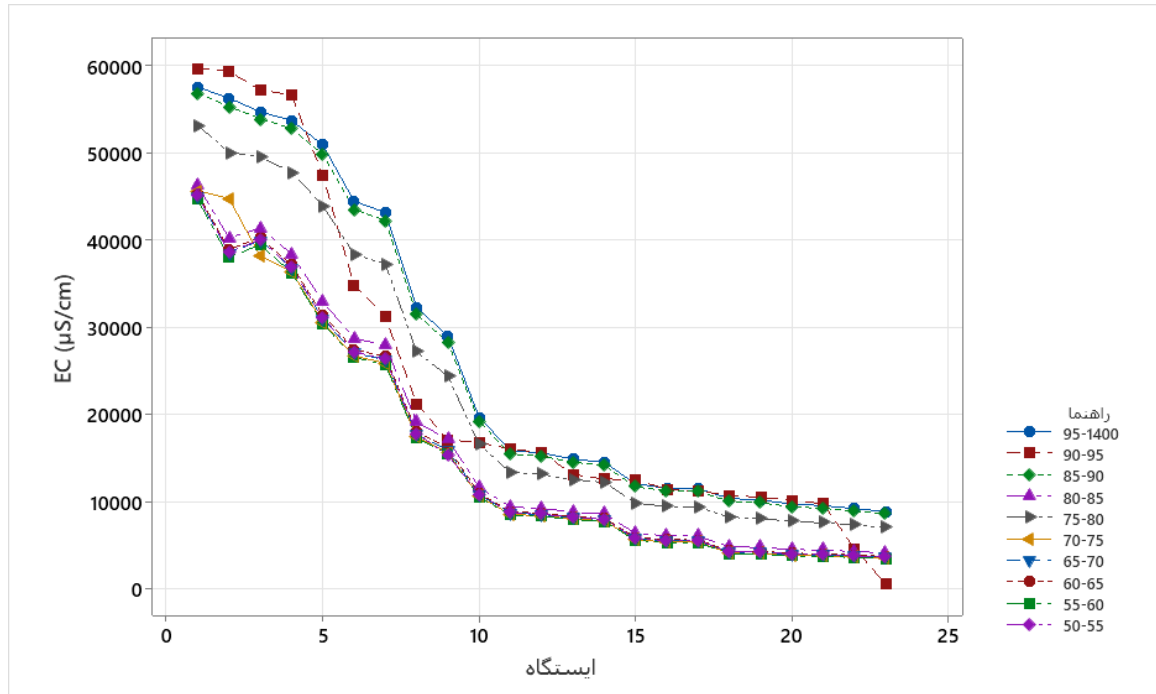
این پژوهش در دو بخش انجام شده است. در بخش اول با استفاده از داده‌های برداشت شده EC از ۲۳ ایستگاه در سال‌های ۱۳۵۰ تا ۱۴۰۰ به بررسی تغییرات هدایت کتریکی آب در بازه‌های زمانی ۵ ساله، مطابق جدول ۲ پرداخته شده است. تغییرات EC این ایستگاه‌ها در سطح سه پهنه طبقه‌بندی شده در شکل (۱) که با استفاده از مینی تب رسم شده، قابل ملاحظه است. سپس با استفاده از روش‌های درون‌یابی نقاط وارد-ARC-GIS شده و با استفاده روش IDW نقشه‌های لازم تهیه و تحلیل شده‌اند. در این پژوهش از سامانه Google Earth Engine برای دانلود تصاویر ماهواره‌ای محدوده موردنظر و از نرم‌افزار ARC-GIS برای انجام فرآیند درون‌یابی IDW و تهیه نقشه‌های تغییرات شوری تالاب استفاده شده است. از تصاویر ماهواره‌ای سری لندست، لندست ۴ و ۵ و ۷ برای به دست آوردن تغییرات مساحت تالاب طی سال‌های مدنظر استفاده شده است؛ با استفاده از معادلات باندی به بررسی تغییرات با استفاده از باند مادون قرمز پرداخته شد. پارامتر کیفی موردنظر در این پژوهش EC تالاب شادگان می‌باشد که اطلاعات آن برای بازه زمانی ۴۰ ساله در اختیار است.

### بررسی مساحت

در بخش دوم این پژوهش به بررسی سطح تالاب شادگان با استفاده از تصاویر ماهواره‌ای طی سال‌های مختلف پرداخته شده است که بخش سنجش از دور آن با استفاده از بخش Google earth engine Editor سامانه انجام و مساحت تالاب به دست آمده است. برای به دست آوردن این مقادیر از تصاویر ماهواره‌ای سری لندست استفاده شده است. برای پردازش تصاویر ماهواره‌ای از ARC-GIS بکار گرفته شده است. با توجه به اینکه بخشی از تالاب در معرض خشک شدن می‌باشد و به دلیل غیریکنواخت بودن شکل و هندسه تالاب در تمام مناطق آن، تالاب را بر اساس عمق آب به پهنه‌های مختلفی تقسیم کرده و سپس با تعیین عمق‌های مختلف تالاب، پراکندگی هر عمق بهتر شناخته شود. مناطق تالاب به سه منطقه با شیوه‌های ۵، ۱۵ و ۳ تقسیم‌بندی شده است، در انتخاب این نواحی در باند مادون قرمز که مشخصاً برای تمایز آب از دیگر عوارض زمینی است، مورداً استفاده قرار گرفت و در نهایت صحت طبقه‌بندی‌ها مورد ارزیابی قرار گرفتند. در ادامه با استفاده از EC، سطح تالاب از نظر شوری به پهنه لب‌شور، شور، ابر شور تقسیم‌بندی شده‌اند (Dastranj et al., 2017).

جدول ۲. میزان هدایت الکتریکی ایستگاهها مختلف در سطح تالاب شادگان ( $\mu\text{S}/\text{cm}$ ) در سال‌های مختلف

سال												مختصات جغرافیایی		ایستگاه	
۱۴۰۰-۹۶	۹۵-۹۱	۹۰-۸۶	۸۵-۸۱	۸۰-۷۶	۷۵-۷۱	۷۰-۶۶	۶۵-۶۱	۶۰-۵۶	۵۵-۵۰	UTM Y	UTM X				
۵۷۵۰۲	۵۶۶۵۰	۵۶۸۳۱	۴۶۲۲۵	۵۲۱۳۹	۴۴۷۴۹	۴۵۰۱۷	۴۵۲۸۶	۴۴۶۳۵	۴۵۰۸۴	۲۹۵۰۳۱/۴۹۲۶	۳۳۲۸۵۸۵/۸۵۷	۱			
۵۴۶۶۵	۵۷۲۰۰	۵۳۸۷۳	۴۱۳۵۵	۴۹۵۱۵	۹۳۶۱۲	۳۹۹۲۹	۴۰۲۴۶	۳۹۴۷۸	۴۰۰۸	۲۹۳۸۱۰/۴۳۸۱	۳۳۴۲۳۴/۲۱۸	۲			
۵۶۲۴۹	۵۹۳۰۰	۵۵۲۹۶	۴۰۲۳۲	۵۰۰۵۲	۳۸۱۳۵	۳۸۵۱۶	۳۸۸۹۸	۳۷۹۷۳	۳۸۶۱۲	۲۸۰۲۸۳/۵۸۸۱	۳۳۳۳۳۱۵/۲۹۴	۳			
۵۳۶۸۸	۵۶۶۰۰	۵۲۷۷۸	۲۸۴۰۱	۴۷۷۷۳	۳۶۳۹۹	۳۶۷۶۳	۳۷۱۲۷	۳۶۷۴۴	۳۶۸۰۵	۲۹۵۰۳۱/۱۴۳	۳۳۵۵۵۷۳/۴۱۱	۴			
۵۰۸۷۸	۵۴۳	۴۹۸۰۸	۲۲۹۱۰	۴۳۹۲۶	۳۰۰۵۷	۳۰۹۸۵	۳۱۴۱۳	۳۰۳۷۵	۳۱۰۹۲	۲۸۲۴۷۸/۹۶۷۱	۳۳۵۰۳۴/۸۸	۵			
۴۴۴۴۱	۴۷۴۲۰	۴۳۵۰۶	۲۸۷۴۶	۳۸۳۶۸	۲۶۶۹۱	۲۷۰۶۵	۲۷۴۳۸	۲۶۵۳۲	۲۷۱۵۸	۲۹۵۷۶۱/۷۴۴۱	۳۳۶۸۲۷۳/۴۳۶	۶			
۴۳۱۲۹	۴۶۳۰	۴۲۲۲۲	۲۷۸۹۸	۳۷۲۳۶	۲۵۹۰۳	۲۶۴۶۶	۲۶۶۲۸	۲۵۷۴۹	۲۶۳۵۷	۲۷۲۴۴/۵۱۰۲	۳۳۴۰۹۸۸/۲۲۶	۷			
۲۲۲۸۹	۳۴۷۹۵	۳۱۵۰۵	۱۹۱۲۹	۲۷۱۹۷	۱۷۴۰۶	۱۷۷۲۰	۱۸۰۳۳	۱۷۷۲۳	۱۷۷۹۸	۲۷۴۶۱/۱۸۱۱	۳۳۶۳۷۷۵/۵۱۱	۸			
۲۸۹۵۹	۳۱۲۰۰	۲۸۲۵۰	۱۷۱۵۳	۲۴۳۸۷	۱۵۶۰۸	۱۵۸۸۹	۱۶۱۷۰	۱۵۴۸۸	۱۵۳۵۹	۲۶۷۷۱۵/۸۰۴۷	۳۳۵۲۱۹۹/۹۶۷	۹			
۱۹۶۷۳	۲۱۲۰۰	۱۹۱۹۶	۱۱۶۵۵	۱۶۵۷۱	۱۰۶۰۵	۱۰۷۹۶	۱۰۹۸۷	۱۰۵۲۴	۱۰۸۴۴	۲۵۸۸۰/۲۶۸۵۸	۳۳۶۵۰۰/۷۴۷۹	۱۰			
۱۵۸۶۸	۱۷۱۰۰	۱۵۴۸۳	۹۴۰۱	۱۳۳۶۶	۸۵۵۴	۸۷۰۸	۸۸۶۲	۸۴۸۹	۸۷۴۷	۲۷۵۶۸۹/۹۰۷	۳۳۷۶۷۴۸۳۸۸	۱۱			
۱۵۵۹۰	۱۶۸۰۰	۱۵۲۱۲	۹۲۲۶	۱۲۱۳۲	۸۴۰۴	۸۵۵۵	۸۷۰۷	۸۳۴۰	۸۵۹۳	۲۴۸۵۳/۹۶۶۴	۳۳۷۱۹۱۹/۷۲۳	۱۲			
۱۴۸۹۴	۱۶۰۵۰	۱۴۵۳۲	۸۸۲۴	۱۲۵۴۴	۸۰۲۹	۸۱۷۴	۸۳۱۸	۷۹۶۸	۸۲۱۰	۲۵۷۸۴۳/۵۶۹۳	۳۳۷۴۱۳۵/۶۲۳	۱۳			
۱۴۵۲۳	۱۵۶۵۰	۱۴۱۷۰	۸۶۰۴	۱۲۲۳۳	۷۸۲۹	۷۹۷۰	۸۱۱۱	۷۷۶۹	۸۰۰۵	۲۸۹۱۶۳/۶۸۴	۳۳۸۰۸۴۹/۴۳۸	۱۴			
۱۲۰۴۴	۱۳۱۲۵	۱۱۷۰۷	۶۳۷۱	۹۸۴۹	۵۶۲۸	۵۷۶۳	۵۸۹۸	۵۵۷۱	۵۷۹۷	۲۴۷۸۹۳/۸۹۳۱	۳۳۸۰۸۱۷/۱۶۷	۱۵			
۱۱۵۷۲	۱۲۶۱۰	۱۱۲۴۷	۶۱۲۱	۹۴۶۳	۵۴۰۷	۵۵۳۷	۵۶۶۷	۵۳۵۲	۵۵۰۷	۲۵۷۵۸۱۴/۲۷۷۱	۳۳۸۱۷۱۰/۱۳۸	۱۶			
۱۱۴۹۸	۱۲۵۰۰	۱۱۱۷۲	۶۰۸۲	۹۴۰۳	۵۳۷۳	۵۵۰۲	۵۶۳۱	۵۳۱۸	۵۵۳۴	۲۶۴۹۵۹/۵۰۲۳	۳۳۸۲۴۹۶/۰۷۹	۱۷			
۱۰۳۷۶	۱۱۴۳۰	۱۰۰۴۷	۴۸۴۲	۸۲۳۵	۴۱۱۷	۴۲۴۹	۴۳۸۱	۴۰۶۱	۴۲۸۲	۲۸۵۶۶۳/۲۳۹۵	۳۴۱۷۶۹۳/۵۴۳	۱۸			
۱۰۲۱۳	۱۱۲۵۰	۹۸۸۸	۴۷۶۶	۸۱۰۵	۴۰۵۳	۴۱۸۲	۴۳۱۲	۳۹۹۷	۴۲۱۵	۲۶۴۹۰۹/۰۲۷۳	۳۳۹۲۶۸۲/۵۵۷	۱۹			
۹۷۳۱	۱۰۷۲۰	۹۴۲۲	۴۵۴۱	۷۷۲۳	۳۸۶۲	۳۹۸۵	۴۱۰۹	۳۸۰۹	۴۰۱۶	۲۶۲۹۰۹/۰۲۷۳	۳۳۹۲۶۸۲/۵۵۷	۲۰			
۹۵۵۹	۱۰۵۳۰	۹۲۵۵	۴۴۶۱	۷۵۸۶	۳۷۹۳	۳۹۱۵	۴۰۳۶	۳۷۴۲	۳۹۴۵	۲۶۸۹۹۴/۴۵۶۲	۳۴۰۲۱۸۲/۳۱۴	۲۱			
۹۲۲۲	۱۰۱۷۰	۸۹۳۹	۴۳۰۸	۷۳۲۷	۳۶۶۴	۳۷۸۱	۳۸۹۸	۳۶۱۴	۳۸۱۰	۲۵۴۲۱۰/۸۳۲۹	۳۳۹۸۰۹۶/۸۸۵	۲۲			
۸۸۷۸	۹۷۸۰	۸۵۹۶	۴۱۴۳	۷۰۴۶	۳۵۲۳	۳۶۳۶	۳۷۴۹	۳۴۷۵	۳۶۶۴	۲۵۷۸۴۸/۸۶۱	۳۳۹۰۹۰۴/۴۲۷	۲۳			

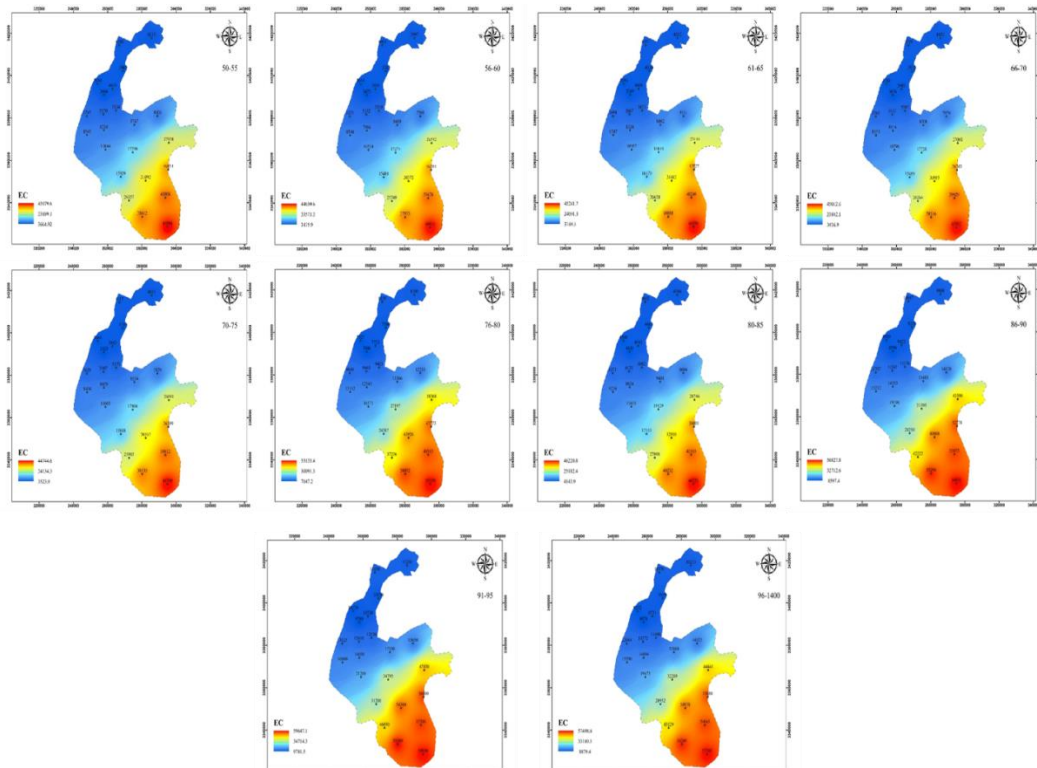


شکل ۲. سری زمانی فاکتور شوری آب (EC) در ایستگاه‌های مختلف در سطح تالاب شادگان

سمت شمال آن است که افزایش چشمگیر شوری ایستگاه‌های ۴، ۵ و ۹ گواه این امر می‌باشند. این مهم در شکل ۴ به‌وضوح قابل روئیت است.

نتایج بررسی‌ها و تحلیل‌های صورت گرفته، مطابق معادلات جدول (۳)، نشان‌دهنده ارتباط معنی‌دار شاخص کیفی شوری و مساحت تالاب است؛ که بر این اساس می‌توان با استفاده از سطح آبدار تالاب، میزان شوری آب تالاب را و یا بر عکس با استفاده از شوری آب تالاب سطح آبدار تالاب را، در شرایط مختلف تخمين زد. برای به دست آوردن رابطه میان شوری و مساحت تالاب، میزان شوری با بیشترین، کمترین و میانگین سطح تالاب بررسی شد و روابط حاصل به شرح جدول (۳) ارائه گردید. لازم به ذکر است با توجه به پایش صورت گرفته، در تالاب شادگان لایه بندي شوری در آب وجود ندارد. بعبارت دیگر پروفیل شوری از سطح تا عمق محسوس و معنی دار نیست. علت آن ناشی از عمق کم آب در تالاب و همچنین پوشش گیاهی نسبتاً متراکم آن می‌باشد که مانع از تماس مستقیم نور خورشید با آب تالاب می‌شود. لذا در این تحقیق در کنار داده‌های تاریخی موجود در یک نوبت در سال ۱۴۰۰ ضمن اندازه‌گیری عمق آب تالاب در هر یک ایستگاه‌ها، عمل نمونه برداری و آنالیز آب از عمق متوسط صورت گرفته و نتایج و تحلیل‌های انجام شده بر این پایه می‌باشد.

نتایج بخش اول این پژوهش مطابق (شکل ۳) و جدول (۲)، بیانگر افزایش EC آب تالاب شادگان از پهنه‌های جنوب به سمت شمال می‌باشد. با توجه به شکل (۳) و جداول (۲) ایستگاه‌های پایین‌دست (در قسمت جنوب تالاب) دارای شوری بیشتری نسبت به ایستگاه‌های بالادست این تالاب می‌باشد. علت این وضعیت، تغذیه تالاب از منابع آب شیرین سطحی، مخصوصاً رودخانه جراحی و همچنین ارتباط و اتصال تالاب در جنوب با آب شور خلیج فارس می‌باشد. همچنین بررسی روند زمانی شوری آب تالاب نشان می‌دهد که در گذر سال‌ها، میزان EC ایستگاه‌ها در سطح تالاب از روندی صعودی برخوردار است. تغییرات شوری پرشی در بازه‌ی زمانی سال‌های ۸۶ تا ۹۰ و سال‌های قبل داشته که می‌توان دلیل اصلی آن را بهره‌برداری از سدهای بالادست و کاهش جریان شیرین ورودی و همچنین ورود زهاب‌های کشاورزی و وقوع خشکسالی در محدوده این تالاب دانست. نتایج ذکر شده در این بخش با مقایسه جدول ۲ و شکل ۳ با نتایج حاصل از تحقیقات درگاهیان و همکاران (Dargahian et al., 2020) که بیانگر روند افزایش شوری از بخش‌های جنوبی به سمت شمال و همچنین نمود بیشتر افزایش شوری در قسمت های جنوبی در اثر کاهش جریان آب شیرین ورودی بود، همخوانی دارد. با توجه به بررسی‌های انجام شده با استفاده از روش‌های درون‌پایی در محیط نرمافزار نقشه‌ها نشانگر پیشروی آب‌شوری از جنوب تالاب به ARC-GIS



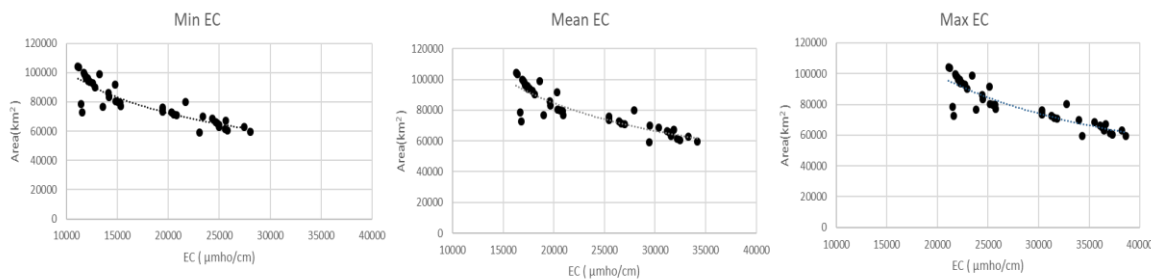
شکل ۲. نقشه تغییرات شوری آب (EC) از سال ۱۳۵۰ تا ۱۴۰۰

جدول ۳. تغییرات شوری آب (EC) بر حسب ( $\mu\text{S}/\text{cm}$ ) و مساحت طی سال‌های مختلف

	سال	ابر شور ( $\mu\text{S}/\text{m}$ )			شور ( $\mu\text{S}/\text{m}$ )			لبشور ( $\mu\text{S}/\text{m}$ )		
		حداکثر	میانگین	مساحت (کیلومترمربع)	حداکثر	میانگین	مساحت	حداکثر	میانگین	حداکثر
۸۲۳۰۰	۱۳۶۰	۹۱۳۱	۷۲۲۸	۳۹۴۵	۱۸۵۸۱	۱۴۴۷۱	۱۱۳۲۱	۴۵۷۵۵	۳۷۲۱۸	۲۷۲۶۳
۹۰۱۰۰	۱۳۶۱	۸۱۶۹	۶۳۶۹	۲۲۴۱	۱۶۶۲۱	۱۲۹۴۶	۱۰۱۲۸	۴۴۰۷۷	۲۵۰۰۸	۲۴۹۹۶
۹۷۶۰۰	۱۳۶۲	۷۵۰۳	۵۸۱۹	۲۷۹۰	۱۵۳۶۹	۱۱۹۷۰	۹۳۶۴	۴۲۰۰۳	۲۳۵۹۴	۲۳۵۴۶
۷۶۹۰۰	۱۳۶۳	۹۹۴۰	۷۹۴۹	۴۵۳۷	۲۰۲۲۶	۱۵۷۵۲	۱۲۴۴۳	۴۷۱۶۵	۳۹۰۷۴	۱۹۱۶۷
۹۱۶۰۰	۱۳۶۴	۹۵۵۵	۷۶۰۶	۴۲۵۵	۱۹۴۴۲	۱۵۱۴۲	۱۱۸۴۶	۴۶۴۹۳	۲۸۱۹۰	۲۸۲۶۰
۹۶۱۰۰	۱۳۶۵	۷۵۹۱	۵۸۵۳	۲۸۱۸	۱۵۴۴۸	۱۲۰۳۱	۹۴۱۲	۴۲۰۷۰	۳۳۶۸۲	۲۳۶۳۶
۱۰۴۳۰	۱۳۶۶	۷۰۱۴	۵۳۳۸	۲۳۹۵	۱۴۲۷۳	۱۱۱۱۶	۸۶۹۶	۴۲۰۶۳	۳۲۳۵۷	۲۲۲۷۶
۹۴۰۰۰	۱۳۶۷	۷۷۴۵	۵۹۹۱	۵۹۳۱	۱۵۷۶۱	۱۲۲۷۵	۹۶۰۳	۴۲۲۳۹	۳۴۰۳۶	۲۳۹۹۹
۶۸۵۰۰	۱۳۶۸	۱۶۲۹۶	۱۳۷۸۴	۹۶۶۷	۳۳۱۶۰	۲۵۸۲۵	۲۰۲۰۳	۵۷۱۷۷	۵۱۵۳۳	۴۳۱۳۹
۸۰۰۰۰	۱۳۶۹	۹۷۴۷	۷۷۷۷	۴۳۹۶	۱۹۸۳۴	۱۵۴۴۷	۱۲۰۸۴	۴۶۸۲۹	۳۸۶۲۲	۲۸۷۱۲
۹۲۷۰۰	۱۳۷۰	۸۰۲۶	۶۲۴۱	۳۱۳۶	۱۶۳۳۱	۱۲۷۱۹	۹۹۵۰	۴۳۸۲۷	۳۴۶۸۰	۲۴۶۵۹
۷۶۸۰۰	۱۳۷۱	۸۷۰۸	۶۸۵۰	۳۶۳۵	۱۷۷۱۹	۱۳۸۰۰	۱۰۷۹۶	۴۵۰۱۷	۳۶۲۴۶	۲۶۲۶۵
۹۸۷۰۰	۱۳۷۲	۷۴۷۶	۵۷۵۰	۲۷۲۳۳	۱۵۲۱۳	۱۱۸۴۸	۹۲۶۹	۴۲۸۶۹	۲۳۴۱۷	۲۳۳۶۴
۱۰۳۵۰۰	۱۳۷۳	۷۰۹۱	۵۴۰۶	۲۴۵۲	۱۴۴۲۹	۱۱۲۳۸	۸۷۹۱	۴۲۱۹۸	۳۲۵۳۳	۲۲۴۵۸
۷۶۰۰۰	۱۳۷۴	۱۲۷۸۸	۱۰۴۹۲	۶۶۲۳	۲۶۰۲۲	۲۰۲۶۶	۱۵۸۰۴	۵۲۱۳۲	۴۵۶۱۴	۲۵۸۷۵
۷۸۵۰۰	۱۳۷۵	۷۲۵۴	۵۵۰۲	۲۵۷۱	۱۴۷۶۱	۱۱۴۹۶	۸۹۹۳	۴۲۴۸۱	۲۲۹۰۷	۲۲۸۴۱
۹۹۸۰۰	۱۳۷۶	۷۴۲۲	۵۷۰۳	۲۶۹۵	۱۵۱۰۵	۱۱۷۶۵	۹۲۰۳	۴۲۷۷۶	۳۲۲۹۶	۲۳۲۲۹
۷۹۷۰۰	۱۳۷۷	۹۹۰۱	۷۹۱۵	۴۵۰۹	۲۰۱۴۷	۱۵۶۹۱	۱۲۲۷۵	۴۷۰۹۷	۳۸۹۸۵	۲۹۰۷۶
۷۲۶۰۰	۱۳۷۸	۷۳۲۲	۵۶۱۳	۲۶۲۱	۱۴۸۹۹	۱۱۶۰۴	۹۰۷۸	۴۲۶۰۰	۳۳۰۶۴	۲۳۰۰۲
۹۵۹۵۰	۱۳۷۹	۷۷۰۶	۵۹۵۶	۲۹۰۲	۱۵۶۸۲	۱۲۲۱۴	۹۵۵۵	۴۲۲۷۱	۳۲۳۴۸	۲۳۹۰۸
۶۹۸۰۰	۱۳۸۰	۱۰۵۹۰	۱۳۰۶۷	۸۸۹۳	۳۱۷۲۳	۲۴۷۰۶	۱۹۳۲۸	۵۴۶۳۰	۵۰۷۴۷	۴۲۰۱۳
۶۲۹۰۰	۱۳۸۱	۱۸۵۲۰	۱۵۸۴۱	۱۱۵۱۰	۳۷۸۸۵	۲۹۳۵۰	۲۲۹۶۱	۵۸۵۴۷	۵۴۶۷۹	۴۷۹۲۵
۷۱۳۰۰	۱۳۸۲	۱۲۵۵۸	۱۱۱۷۹	۷۱۸۷	۲۷۵۸۸	۲۱۴۸۶	۱۶۸۰۹	۵۲۴۷۴	۴۷۶۸۲	۲۷۶۱۹
۸۰۳۰۰	۱۳۸۳	۹۵۹۳	۷۶۴۰	۴۲۸۴	۱۹۵۲۱	۱۵۲۰۳	۱۱۸۹۳	۴۶۵۶۱	۳۸۲۷۸	۲۸۳۵۱
۹۸۹۰۰	۱۳۸۴	۸۴۷۷	۶۶۴۲	۳۴۶۶	۱۷۲۴۹	۱۳۴۲۴	۱۰۵۰۹	۴۴۶۱۴	۳۵۷۱۵	۲۵۷۲۱
۷۸۴۰۰	۱۳۸۵	۱۲۷۸۸	۱۰۴۹۲	۶۶۲۳	۲۶۰۲۲	۲۰۲۶۶	۱۵۸۰۴	۵۲۱۳۲	۴۵۶۱۴	۳۵۸۷۵
۹۳۸۰۰	۱۳۸۶	۷۸۶۱	۶۰۹۴	۳۰۱۵	۱۵۹۹۶	۱۲۴۵۸	۹۷۴۶	۴۲۵۴۰	۳۴۳۰۱	۲۴۲۷۱
۸۰۹۰۰	۱۳۸۷	۹۰۹۳	۷۱۹۳	۳۹۱۷	۱۸۵۰۲	۱۴۴۱۰	۱۱۲۷۳	۴۵۸۸۸	۲۷۱۲۹	۲۷۱۲۷
۷۳۴۰۰	۱۳۸۸	۱۲۷۸۸	۱۰۴۹۲	۶۶۲۳	۲۶۰۲۲	۲۰۲۶۶	۱۵۸۰۴	۵۲۱۳۲	۴۵۶۱۴	۳۵۸۷۵
۸۰۱۰۰	۱۳۸۹	۱۴۳۲۸	۱۱۸۶۶	۷۷۵۰	۲۹۱۵۵	۲۲۷۰۶	۱۷۷۶۳	۵۴۸۱۷	۴۹۱۴۹	۳۹۵۰۲
۶۶۳۰۰	۱۳۹۰	۱۶۴۰۷	۱۳۷۲۲	۹۲۷۲	۳۳۳۸۵	۲۶۰۰۰	۲۰۳۴۴	۵۸۴۴۱	۵۳۹۲۲	۴۴۳۹۸
۵۹۴۰۰	۱۳۹۱	۱۸۸۲۸	۱۶۰۰۴	۱۱۴۰۲	۳۸۳۱۲	۲۹۸۳۸	۲۲۳۴۴	۵۸۷۸۶	۵۶۷۰۳	۴۹۳۵۰/۳۸
۵۹۳۰۰	۱۳۹۲	۱۵۲۹۰	۱۲۷۲۶	۸۴۵۵	۳۱۱۱۳	۲۴۲۲۱	۱۸۹۵۶	۵۶۴۹۵	۵۱۳۵۹	۴۱۷۶۱/۹۲
۷۲۶۰۰	۱۳۹۳	۱۳۳۹۳	۱۱۰۳۱	۷۰۶۵	۲۷۲۵۲	۲۱۲۲۴	۱۶۶۰۴	۵۳۱۸۶	۴۷۰۰۲	۳۷۲۹۹/۳۲
۷۰۹۰۰	۱۳۹۴	۱۳۷۵۱	۱۱۳۵۱	۷۲۳۷	۲۷۹۸۰	۲۱۷۹۱	۱۷۰۴۸	۵۳۸۱۰	۴۷۸۲۴	۳۸۱۴۲/۴۷
۶۴۱۰۰	۱۳۹۵	۱۶۶۳۸	۱۳۹۲۸	۹۴۴۱	۳۳۸۵۵	۲۶۳۶۶	۲۰۶۲۷	۵۸۸۴۴	۵۴۴۵۲	۴۴۹۴۲/۰۷
۶۷۲۰۰	۱۳۹۶	۱۷۱۵۴	۱۴۵۹	۱۰۷۱۵	۳۴۹۰۵	۲۷۱۸۴	۲۱۲۶۷	۵۷۷۹۲	۵۳۸۴۶	۴۵۴۰۹
۶۱۴۰۰	۱۳۹۷	۱۷۰۲۳	۱۴۲۷۲	۹۷۲۳	۳۴۶۳۸	۲۶۹۷۶	۲۱۱۰۴	۵۹۵۱۵	۵۵۳۳۶	۴۵۸۴۸
۶۰۴۱۳	۱۳۹۸	۱۷۱۷۶	۱۴۴۰۹	۹۸۲۶	۳۴۹۵۱	۲۷۲۲۰	۲۱۲۹۵	۵۹۷۸۴	۵۵۶۹۰	۴۶۲۱۱
۶۳۰۰۰	۱۳۹۹	۱۶۶۳۸	۱۳۹۲۸	۹۴۴۱	۳۳۸۵۵	۲۶۳۶۶	۲۰۶۲۷	۵۸۸۴۴	۵۴۴۵۲	۴۴۹۴۲
۶۵۳۰۰	۱۴۰۰	۱۶۵۲۲	۱۳۸۲۵	۹۳۵۷	۲۳۶۲۰	۲۶۱۸۳	۲۰۴۸۴	۵۸۶۴۳	۵۴۱۸۷	۴۴۶۷۰

جدول ۴. ارتباط بین شوری آب (EC) و سطح خیس شده

نšانگر رابطه سطح تالاب با حداقل میزان شوری در طول زمان است	$y = 9E+06x^{0.485}$ $R^2 = 0.806$	۱ رابطه
نšانگر رابطه سطح تالاب با میانگین میزان شوری در واحد طول زمان است	$y = 3E+07x^{0.595}$ $R^2 = 0.8077$	۲ رابطه
نشانگر رابطه سطح تالاب با حداکثر میزان شوری در طول زمان است	$y = 1E+08x^{-0.721}$ $R^2 = 0.8078$	۳ رابطه



شکل ۵ نمودار شوری آب (EC) و مساحت

با توجه به بررسی‌های انجام‌شده طی این پژوهش، فرضیه رابطه سطح تالاب با شوری به اثبات رسید، همچنین معادلات شوری-سطح تالاب در پهنه‌های مختلف تالاب بصورت ویژه استخراج گردید. نتایج نشان می‌دهد که علی‌رغم اینکه در گذر زمان شوری تالاب افزایش و سطح آن کاهش می‌یابد ولی این افزایش در کل پهنه‌های تالاب شادگان یکسان نبوده و کمیت آن مطابق با معادلات استخراج شده متفاوت و روند گسترش شوری به سمت شمال تالاب می‌باشد. که بیانگر روند افزایش شوری از بخش‌های جنوبی به سمت شمال و همچنین نمود بیشتر افزایش شوری در قسمت‌های جنوبی در اثر کاهش جریان آب شیرین و روودی (تابیش از دو برابر نیز می‌باشد. نتایج و معادلات حاضر بعنوان یک دستاورده مورد استفاده مدیران آب و محیط زیست بوده و آنها می‌توانند با اندازه‌گیری وسعت تالاب با استفاده از فناوری‌های مختلف، EC آب در ایستگاه‌های کلیدی و ساختاری و در نهایت در سطح تالاب را تخمین بزنند. و یا بر عکس با مشخص بود EC وسعت تالاب را برآورد کنند.

### نتیجه‌گیری

نتایج تحقیق نشان می‌دهد که متأسفانه کمیت و کیفیت تالاب بهشت تحت تأثیر فعالیت‌های انسانی بالا دست، به‌ویژه طرح‌های سدسازی و توسعه کشاورزی قرار گرفته است. این اثرات تحت تأثیر تغییر اقلیم و خشکسالی تشديید شده و نتیجه آن کاهش سطح تالاب و روند رو به رشد شوری آب تالاب می‌باشد. این تغییرات در دو بعد زمانی و مکانی قابل مشاهده و رصد می‌باشد. بدین‌صورت که از گذشته تاکنون همواره شوری آب تالاب از روند افزایشی برخوردار است. همچنین از بعد مکانی نیز از شمال به جنوب روند افزایش شوری مشاهده می‌شود. مطابق نتایج سطح تالاب از نظر شوری به سه پهنه لب‌شور، شور و ابر شور قابل تقسیم بوده و در هر سه پهنه افزایش شوری مشاهده می‌شود. به‌طوری‌که مرور زمان سطح این پهنه‌های شور و ابر شور رو به گسترش و سطوح لب‌شور رو به کاهش می‌باشد. پیش‌بینی می‌گردد با گذشت زمان این روند

در این روابط متغیر  $x$  بیانگر EC بر حسب میکرو موس بر سانتی‌متر و  $y$  برابر با مساحت بر حسب کیلومتر مربع است. بر طبق نتایج حاصل از جدول (۳) بین مساحت تالاب و میزان شوری (EC) ارتباط برقرار شد که این روابط در شکل (۵) ارائه شده است.

یکی از اهداف اصلی این پژوهش به دست آوردن روابط سطح تالاب و میزان شوری در پهنه‌های لب‌شور، شور و ابر شور است که در جدول ۵ نتایج حاصل از آن به نمایش گذاشته شده است. با توجه به بررسی‌های انجام‌شده ایستگاه‌های سطح تالاب از نظر شوری در سه گروه لب‌شور، شور و ابر شور تقسیم‌بندی شده‌اند که نتایج در جدول ۵ به تفکیک ایستگاه‌ها قبل ملاحظه است. تقسیم‌بندی وضعیت شوری آب تالاب براساس معیار ارائه شده در دستورالعمل ضوابط زیست محیطی استفاده از آبهای برگشتی و پسابها، (نشریه ۵۳۵) می‌باشد که توسط مهندسین مشاور پکم برای وزارت نیرو تدوین گردیده است. داده‌های ارائه شده مستخرج از حجم وسیعی از داده‌های تاریخی است که بعد از بررسی، صحت سنجی و حذف داده‌های پرت حاصل شده است. تلاش گردیده تمام داده‌های موجود جمع اوری و مورد استفاده قرار گیرد. با توجه به هدف مقاله اینکه کدام متغیر، متغیر مستقل و کدام وابسته باشد تفاوتی وجود ندارد. چون ارتباط معنی داری بین آنها وجود داشته و بر اساس داده‌های موجود از هر کدام، میزان و تغییرات متغیر دیگر محاسبه خواهد شد.

جدول ۵. رده‌بندی ایستگاه‌های سطح تالاب شادگان بر اساس میانگین میزان شوری آب (EC) (dS/cm)

ایستگاه‌ها	شور (کمتر از ۱۵) (۲۵-۱۵) ابر شور (بیش از ۲۵)	شور (کمتر از ۱۵) (۲۵-۱۵) ابر شور (بیش از ۲۵)
۱	۷	۱۰
۲	۸	۱۱
۳	۹	۱۲
۵		۱۳
۶		۱۴
	۱۵	۲۰
	۱۶	۲۱
		۲۲
		۲۳

پایداری این اکوسیستم آبی و زندگی جوامع محلی خواهد شد. همچنین با استفاده از نتایج این تحقیق و به استناد روابط حاصل بین شوری و سطح تالاب، با در دست داشتن مساحت آبی تالاب می‌توان میزان شوری آن را در شرایط و پهنه‌های سه‌گانه تالاب تخمین زد و همچنین بر عکس با اندازه‌گیری شوری آب در چند ایستگاه شاخص در هر یک از پهنه‌های سه‌گانه، می‌توان سطح آبی تالاب را محاسبه نمود. این معادله و روابط حاصله می‌تواند به عنوان ابزاری در پایش، مدیریت و حفاظت کمی-کیفی تالاب و به تبع آن حفاظت از گونه‌های زیستمند آن نقش مؤثری را ایفا کند.

ادامه یافته و موجب پیشروی آب شور دریا به سمت تالاب و افزایش سطح شور و ابر شور در سطح تالاب گردد. با توجه به کارکردهایی مثبت و ارزش بالای این اکوسیستم آبی و نقش آن در اقتصاد و معیشت و حیات جوامع روستایی این نگرانی وجود دارد که در آینده‌ای نزدیک کارکردهای مثبت این تالاب از منظر اکوتوریسم، تنوع زیستی، زیستگاه پرندگان و اقتصاد و رفاه جوامع محلی دچار نقصان شدید شده و اثرات ناگوار و جبران ناپذیری را شاهد باشیم. از دید متخصصین گیاهی و جانوری کاهش سطح و تشدید شوری باعث تغییر در نوع، گونه و تنوع و تراکم جوامع گیاهی و آبزیان و در نهایت اثر منفی بر

### Reference:

- Bayat, R. & Jafari, S. (2016). Qarmishcheshmeh, B. Charkhabi, A. Study of the effect of fine dust on vegetation changes (Case study: Shadegan Wetland, Khuzestan). *Remote Sensing and GIS in Natural Resources (Application of Remote Sensing and GIS in Natural Resources Science)*. 7 (2), 17-32. [In Persian]
- Behzadi Karimi, H. & Omidvar, K. (2017). Spatial analysis of chemical parameters affecting groundwater quality using factor analysis techniques and geostatistical models (Case study: Beiza-Zarghan plain). *Remote Sensing and GIS in Natural Resources (Application of Remote Sensing and GIS in Natural Resources Science)*. 8 (4 (29 in a row)), 17-35.
- Chuck, J. & Mohseni, M. (2016). Investigating the trend of land use changes in Parishan Wetland using remote sensing. *Zist Sepehr Student Journal*. 11 (2), 11-19.
- Dargahian, F. and Khosroshahi, M. (2020). Lotfi Nasab Asl, S. . Investigation of changes in water area of Shadegan wetland and its relationship with hydrological drought and sugarcane drainage. *Environmental Science*. 46 (2), 225-240. [In Persian]
- Dashti, S. Sabzqabai, G. Jafarzadeh, K., Bazm Arabalshti, M. (2018). Evaluating the trend of changes in Miankaleh coastal wetland with land management approach. *Wetland Ecobiology* .5-20. [In Persian]
- Dastranj, H., Tavakoli, F. & Soltanpour, A. (2017). Investigating the water level and volume variations of Lake Urmia using satellite images and satellite altimetry. *Journal of Geographical Data (SEPEHR)*. 27(107), 149-163. doi: 10.22131/sepehr.2018.33569. [In Persian]
- Hasanlu, M. Jamshidi, M. Sattari, M. (2018). Preparation of salinity map of Urmia Lake using support vector regression and Landsat-8 images. *Hydrogeomorphology*. 4 (14), 43-56. [In Persian]
- Hosseini, S. M. & Qahramani, B. (2013). Asgari, H. Estimation of electrical conductivity and sulfate in groundwater of Mashhad using kriging method, 6th International Conference on Civil Engineering, Isfahan.
- Hosseini, S., Nabavi, S., Rajabzadeh Qatarami, A. & Omidvar, V. (2010). Comparison of changes in the conservation values of Shadegan wetland by IMO, IUCN and (Salm and Price) method during the 60s to 80s. *Ecology of wetlands (wetlands)*. 1 (4), 21-37. [In Persian]
- Khalifa Nil Saz, m. (2016). Ecological monitoring of Shadgan lagoon, published by the Iranian fisheries science research institute. [In Persian]
- Karami, P. Mirsanjari, M. (2018). Analysis of land degradation in Hoveyzeh large wetland using remote sensing. *Wetland Ecobiology (Wetland)*. 10 (1 (35 consecutive)). 39-54.
- Maqami,Y. Ghazavi, R., Vali, A. & Sharafi, S. (2010). Evaluation of different interpolation methods for water quality zoning using GIS (Case study: Abadeh city). *Geography and Environmental Planning. Journal of Humanities Research, University of Isfahan*. 22 (2 (42 consecutive)).171-182. [In Persian]
- Martínez-López, J., Carre˜no, M. F., Palazón-Ferrando, J. A., Martínez-Fernández, J. & Esteve, M.A. (2014). Remote sensing of plant communities as a tool for assessing the condition of semiarid Mediterranean saline wetlands in agricultural catchments. *International Journal of Applied Earth Observation and Geo-information*. 26 (1): 193-204. [In Persian]
- Mehrpooyan, M. Jami, M. & Pourkermani, M. (2013). Investigating the annual and seasonal changes of Jazmourian Lake in the years 1972-2012 with the help of satellite images and GIS software, Fifth International Conference on Comprehensive Management of Natural Crises, Tehran. [In Persian]
- Mohammadi Roozbahani M, Rasekh A, & Jaafar Aghaei H. (2013). Biological assessment with use of HFBI index in Shadegan wetland. *Wetland Ecobiology*. 5 (3) :73-85. URL: <http://jweb.ahvaz.iau.ir/article-1-176-fa.html>. [In Persian]
- Nilsaz, Kh. Ismaili, F. Sabzali, S. Eskandari, Ghar. Ansari, H. & Albouid, P. (2016). Ecological monitoring of Shadegan wetland. Fisheries Science Research Institute. [In Persian]

- PoorKhabaz, H. & Yousefi Khanghah, SH. (2015). Salehipoor, F. Investigation of Land Use Change and Land Cover Shadegan Wetland Using Remote Gauge and GIS and Providing Management Solutions. *Wetland Ecobiology Quarterly*. 7 (25), 55-66.
- Rafiei, A. Danehkar, A. & Zand Basiri, M. (2020). Bagherzadeh Karimi, M. Application of linear programming in measuring the feasibility of Shadegan wetland index according to the criteria of Ramsar Convention. *Environmental Science*. 46 (3), 421-436. [In Persian]
- Rahimi Balochi, L. & MalekMohamady, B. (2013). Assessment of environmental risks of Shadegan. *International Wetland based on ecological performance indicators*. 39 (65), 112-101. Ranjbar (1388).
- Salehi, H. Motamedi, M. & Mafi, E. (2020). Validation of summer temperature interpolation methods in northeastern Iran, *Quarterly Journal of Applied Research in Geographical Sciences*. 21 (61), 351-369.
- Shang, S. (2015). A general multi-objective programming model for minimum ecological flow or water level of inland water bodies. *Journal of Arid Land*, 7 (2): 166-176.
- Sima, S. & Tajrishi, M. (2006). Environmental Water Needs Assessment of Shadegan Wetland, 7th International Congress of Civil Engineering, Tehran.
- Sun, X., Xiong, S., Zhu, X., Zhu, X., Li, Y. & Li, B. L. J. E. m. (2015). A new indices system for evaluating ecological economic-social performances of wetland restorations and its application to Taihu Lake Basin, China. *Ecological modelling*, 295: 216-226.
- Tavakoli,M. Amini, D. & Faramarzi, M. (2020). Investigating the relationship between soil salinity change, land use and climatic factors (Case study: Shadegan, Khuzestan). *Environmental science and technology*, 22 (9): 43-58. [In Persian]
- Xu, Y., Wang, Y., Li, S., Huang, G. & Dai, C. (2018). Stochastic optimization model for water allocation on a watershed scale considering wetland's ecological water requirement. *Ecological Indicators*, 92: 330-341.